

## ИССЛЕДОВАНИЕ ПРОСТРАНСТВЕННОГО ТУРБУЛЕНТНОГО ПОГРАНИЧНОГО СЛОЯ С УЧЕТОМ СОПРЯЖЕННОГО ТЕПЛООБМЕНА

В. И. Зинченко, О. П. Федорова  
(Томск)

Рассматривается решение задачи о прогреве конуса со сферическим затуплением при обтекании сверхзвуковым потоком воздуха под углами атаки при таких числах Рейнольдса, когда в пограничном слое реализуются различные режимы течения. Исследуется влияние неизотермичности обтекаемой поверхности на тепловые потоки к телу в турбулентном пограничном слое, и оценивается точность традиционных раздельных подходов, основанных на расчете задачи прогрева при заданном коэффициенте теплоотдачи из газовой фазы.

1. Согласно [1, 2], характеристики сопряженного теплообмена будем отыскивать из решения системы уравнений, описывающей изменение осредненных величин в пространственном пограничном слое [3], и нестационарного одномерного уравнения теплопроводности в оболочке тела с соответствующими граничными и начальными условиями.

Расчет пограничного слоя на сферической части в системе координат, связанной с точкой торможения, проводился как осесимметричный, а далее осуществлялся переход к полугеодезической системе координат, связанной с осью симметрии тела. В переменных Дороницына — Лиза после введения функций тока  $f$  и  $\varphi$  система уравнения пространственного пограничного слоя имеет вид

$$(1.1) \quad \frac{\partial}{\partial \xi} \left( \bar{\nu} \frac{\partial \bar{u}}{\partial \xi} \right) + (\alpha_4 f + \alpha_3 \bar{\varphi}) \frac{\partial \bar{u}}{\partial \xi} = \alpha_1 \left( \bar{u} \frac{\partial \bar{u}}{\partial \xi} - \frac{\partial f}{\partial \xi} \frac{\partial \bar{u}}{\partial \xi} \right) + \alpha_2 \left( \bar{\omega} \frac{\partial \bar{u}}{\partial \eta} - \frac{\partial \varphi}{\partial \eta} \frac{\partial \bar{u}}{\partial \xi} \right) + \\ + \beta_1 \left( \bar{u}^2 - \frac{\rho_e}{\rho} \right) + \beta_2 \left( \bar{\omega}^2 - \frac{\rho_e}{\rho} \right) + \beta_3 \left( \bar{u} \bar{\omega} - \frac{\rho_e}{\rho} \right);$$

$$(1.2) \quad \frac{\partial}{\partial \xi} \left( \bar{\nu} \frac{\partial \bar{\omega}}{\partial \xi} \right) + (\alpha_4 f + \alpha_3 \bar{\varphi}) \frac{\partial \bar{\omega}}{\partial \xi} = \alpha_1 \left( \bar{u} \frac{\partial \bar{\omega}}{\partial \xi} - \frac{\partial f}{\partial \xi} \frac{\partial \bar{\omega}}{\partial \xi} \right) + \alpha_2 \left( \bar{\omega} \frac{\partial \bar{\omega}}{\partial \eta} - \frac{\partial \varphi}{\partial \eta} \frac{\partial \bar{\omega}}{\partial \xi} \right) + \\ + \beta_4 \left( \bar{u}^2 - \frac{\rho_e}{\rho} \right) + \beta_5 \left( \bar{u} \bar{\omega} - \frac{\rho_e}{\rho} \right);$$

$$(1.3) \quad \frac{\partial}{\partial \xi} \left\{ \frac{l}{Pr_\Sigma} \frac{\partial g}{\partial \xi} + \gamma_1 l \left( 1 - \frac{1}{Pr_\Sigma} \right) \frac{\partial}{\partial \xi} \left[ \bar{u}^2 + \left( \frac{\omega_e}{u_e} \bar{\omega} \right)^2 \right] \right\} + (\alpha_4 f + \alpha_3 \bar{\varphi}) \frac{\partial g}{\partial \xi} = \\ = \alpha_1 \left( \bar{u} \frac{\partial g}{\partial \xi} - \frac{\partial f}{\partial \xi} \frac{\partial g}{\partial \xi} \right) + \alpha_2 \left( \bar{\omega} \frac{\partial g}{\partial \eta} - \frac{\partial \varphi}{\partial \eta} \frac{\partial g}{\partial \xi} \right).$$

С учетом допущения об одномерности процесса нестационарное уравнение теплопроводности в материале тела в ортогональной полугеодезической системе координат запишем как

$$(1.4) \quad \pi_\nu \frac{\partial \theta}{\partial \tau} = \frac{1}{H_1 r_1} \frac{\partial}{\partial n_1} \left( H_1 r_1 \pi_\lambda \frac{\partial \theta}{\partial n_1} \right).$$

Граничные и начальные условия следующие:

$$(1.5) \quad \bar{u}(\xi, \eta, \infty) = 1, \quad \bar{\omega}(\xi, \eta, \infty) = 1, \quad g(\xi, \eta, \infty) = 1;$$

$$(1.6) \quad \bar{u}(\xi, \eta, 0) = 0, \quad \bar{\omega}(\xi, \eta, 0) = 0, \quad f(\xi, \eta, 0) = \varphi(\xi, \eta, 0) = 0,$$

$$q_w(\xi, \eta, 0) \sqrt{\text{Re Pr}} \frac{\lambda_{e0}}{\lambda_{1*}} - \pi_\sigma \theta_w^4 = -\pi_\lambda (\theta_w) \frac{\partial \theta}{\partial n_1}(\tau, 0);$$

$$(1.7) \quad \frac{\partial \theta}{\partial n_1} \left( \tau, \frac{L}{R_N} \right) = 0 \quad \text{или} \quad \theta \left( \tau, \frac{L}{R_N} \right) = \theta_n, \quad \theta(0, n_1) = \theta_n.$$

Здесь и ниже  $\xi$  — безразмерная длина дуги, отсчитываемая от оси симметрии;  $\eta$  — угол, отсчитываемый от наветренной стороны в плоскости

симметрии тела, рад;  $\zeta = u_e r_w \int_0^n \rho \, dn \left( 2R_N \int_0^{\xi} \rho_e \mu_e u_e r_w^2 \, d\xi \right)^{1/2}$  и  $n_1 = -n/R_N$  направлены по нормали к внешнему контуру в различные стороны;  $g = H/H_{e0}$ ,  $\bar{u} = \partial f / \partial \zeta$ ,  $\bar{\omega} = \partial \psi / \partial \xi$  — безразмерные энтальпия и компоненты скорости в продольном и окружном направлениях;  $\alpha_1 = \frac{\int_0^{\xi} \rho_e \mu_e u_e r_w^2 \, d\xi}{\rho_e \mu_e u_e r_w^2}$ ,  $\alpha_2 = \frac{\omega_e}{u_e r_w} \alpha_1$ ,  $\alpha_3 = \frac{\alpha_1}{r_w} \frac{\partial}{\partial \eta} \left( \frac{\omega_e}{u_e} \right) + \frac{\omega_e}{\rho_e \mu_e u_e r_w^2} \frac{\partial}{\partial \eta} \left( \int_0^{\xi} \rho_e \mu_e u_e r_w^2 \, d\xi \right)$ ,  $\alpha_4 = 1$ ,  $\beta_1 = \frac{\alpha_1}{u_e} \frac{\partial u_e}{\partial \xi}$ ,  $\beta_2 = -\alpha_1 \left( \frac{\omega_e}{u_e} \right)^2 \frac{1}{r_w} \frac{d\bar{r}_w}{d\xi}$ ,  $\beta_3 = \alpha_2 \frac{1}{u_e} \frac{\partial u_e}{\partial \eta}$ ,  $\beta_4 = \frac{\alpha_2}{\omega_e} \frac{\partial \omega_e}{\partial \eta}$ ,  $\beta_5 = \alpha_1 \left( \frac{1}{r_w} \frac{d\bar{r}_w}{d\xi} + \frac{1}{\omega_e} \frac{\partial \omega_e}{\partial \xi} \right)$ ;  $r_w^- = \frac{r_w}{R_N}$ ,  $\gamma_1 = \frac{u_e^2}{2H_{e0}}$ ,  $\pi_{\bar{u}} = \frac{\rho_1 c_1}{\rho_{1*} c_{1*}}$ ,  $\pi_{\lambda} = \frac{\lambda_1}{\lambda_{1*}}$ ,  $\pi_{\sigma} = \frac{\varepsilon \sigma T_*^3}{\lambda_{1*}}$  — безразмерные коэффициенты и параметры;  $q_w = \frac{\mu_w}{Pr} \frac{\partial H}{\partial n} \Big|_w \frac{\sqrt{Re}}{\rho_{e0} V_m H_{e0}}$ ,  $\theta = \frac{T}{T_{e0}}$ ,  $\tau = \frac{t}{t_*}$  — безразмерный тепловой поток, температура и время;  $t_* = \frac{R_N^2 \rho_{1*} c_{1*}}{\lambda_{1*}}$ ,  $V_m = \sqrt{2H_{e0}}$ ,  $R_N$ ,  $L$  — характерные время и скорость, радиус затупления и толщина оболочки;  $H_1 = 1 - kn$ ,  $r_1 = \bar{r}_w - n_1 \cos \beta$  — коэффициенты Ламэ ( $k$  — кривизна образующей,  $\beta$  — угол наклона образующей тела к оси симметрии); индексы  $e$ ,  $e0$ ,  $w$  отвечают значениям на внешней границе пограничного слоя, на внешней границе в точке торможения, на поверхности тела, а 1, \*, т — характеристикам твердой фазы, характерным величинам и характеристикам турбулентного переноса.

Для описания турбулентного течения применялась двухслойная модель турбулентного пограничного слоя [4]. Во внутренней области коэффициент турбулентной вязкости определялся из формулы Прандтля с демпфирующим множителем Ван-Драйста — Себечи, обобщенной на пространственный случай:

$$(1.8) \quad \mu_T = 0,16 \rho n^2 \left\{ 1 - \exp \left( -\frac{n}{A} \right) \right\}^2 \left\{ \left( \frac{\partial u}{\partial n} \right)^2 + \left( \frac{\partial \omega}{\partial r} \right)^2 \right\}^{0,5},$$

$$A = 26 \nu \sqrt{\rho / \tau_w} / (1 - 11,8 \bar{p})^{-0,5}, \quad \nu = \frac{\mu_w}{\rho_w}, \quad U_e = (u_e^2 + \omega_e^2)^{0,5},$$

$$\bar{p} = \frac{\nu}{\rho_e \left( \frac{\tau_w}{\rho} \right)^{1,5}} \frac{1}{U_e} \left( \frac{u_e}{R_N} \frac{\partial p_e}{\partial \xi} + \frac{\omega_e}{r_w} \frac{\partial p_e}{\partial \eta} \right),$$

$$\tau_w = \mu_w [(\partial u / \partial n|_w)^2 + (\partial \omega / \partial n|_w)^2]^{0,5}.$$

Во внешней области коэффициент турбулентной вязкости вычислялся по формуле Клаузера

$$(1.9) \quad \mu_T = 0,016 \rho \left[ 1 + 5,5 \left( \frac{n}{\delta} \right)^6 \right]^{-1} \int_0^{\infty} [U_e - (u^2 + \omega^2)^{0,5}] \, dn.$$

Граница между внутренней и внешней областями находилась из условия равенства коэффициентов (1.8) и (1.9).

Для расчета течения в переходной области использовались формулы

$$l = \frac{\rho \mu}{\rho_e \mu_e} + \Gamma \frac{\rho \mu_i}{\rho_e \mu_e}, \quad Pr_{\Sigma} = \frac{(\mu + \Gamma \mu_T) Pr Pr_T}{\mu Pr_T + \Gamma \mu_T Pr},$$

где  $\Gamma$  — коэффициент продольной перемежаемости, определенный в [5] для случая обтекания затупленных тел. Для ламинарной области течения

$\Gamma = 0$ , для развитой турбулентной —  $\Gamma = 1$ . Начало переходной области определялось точкой потери устойчивости, которая отыскивалась на сферическом затуплении из условия для критического значения числа Рейнольдса

$$Re^{**} = \frac{u_e \rho_e \delta^{**}}{\mu_e} = 200, \quad \delta^{**} = \int_0^{\infty} \frac{\rho u}{\rho_e u_e} \left(1 - \frac{u}{u_e}\right) dn.$$

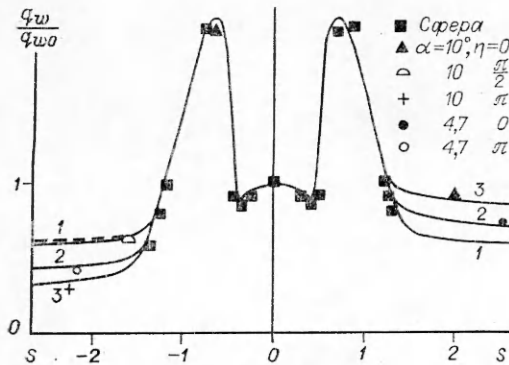
Значения  $Re = V_m \rho_{e0} R_N / \mu_{e0}$  при проведении расчетов выбирались такими, что переход от ламинарного режима течения к турбулентному осуществлялся на сферической части тела. При решении задачи развития осесимметричного пограничного слоя от точки торможения с учетом ламинарного, переходного и турбулентного режимов течения применялась методика [6]. На внешней границе пограничного слоя условия брались из расчетов невязкого обтекания [7] и аппроксимировались с помощью двумерных сглаживающих сплайнов [8].

Разностные схемы для расчетных областей в газовой фазе и теле получены с помощью итерационно-интерполяционного метода [9] с погрешностью аппроксимации  $O(\Delta\xi)^2 + O(\Delta\xi) + O(\Delta\eta)$ ,  $O(\Delta n_1)^2 + O(\Delta\tau)$ . Выбор шагов интегрирования осуществлялся из условия наличия счетной сходимости, определяемой по методике [10].

При численном решении для  $Pr = 0,72$ ,  $Pr_T = 1$  коэффициент молекулярной вязкости  $\mu$  задавался формулой Сюзерленда. Теплофизические характеристики материала считались постоянными, и варьировались следующие определяющие параметры:  $Re$  и  $M_\infty$ , температурный фактор  $\theta_w$ , угол атаки  $\alpha$  и параметр  $S = \sqrt{Re Pr} \lambda_{e0} / \lambda_{1*}$ , который используется для задач сопряженного теплообмена.

2. Рассмотрим результаты решения краевой задачи (1.1)—(1.3), (1.5), (1.6) в случае заданной температуры поверхности.

На рис. 1 ( $\alpha = 0; 4,7; 10^\circ$  — линии 1—3) в плоскости симметрии течения приведены зависимости относительного теплового потока  $q_w/q_{w0}$  от координаты  $s$  (отсчитываемой от точки торможения), полученные при решении задачи пространственного турбулентного пограничного слоя для данных работы [11] ( $M_\infty = 5$ ,  $\beta = 9^\circ$ ,  $Re = 5,03 \cdot 10^6$ ,  $\theta_w = 0,25$ ). Положительные значения  $s$  отвечают наветренной стороне, отрицательные — подветренной. Здесь же значками показаны результаты экспериментального исследования [11], штриховая кривая — расчетная зависимость  $q_w/q_{w0}$  для  $\alpha = 10^\circ$  вдоль меридионального сечения  $\eta = \pi/2$ . Тепловые потоки для  $\eta = \pi/2$  близки к тепловым потокам, реализующимся при осесимметричном обтекании того же конуса. Это связано со слабым влиянием расхождения линий тока на меридиане  $\eta = \pi/2$  на локальные тепловые потоки и согласуется с результатами экспериментов как для турбулентного, так и для ламинарного режима течения. На рис. 1 видно удовлетворительное согласование теоретических и экспериментальных данных



Р и с. 1

по тепловому потоку, что обосновывает применимость используемой модели турбулентного пограничного слоя.

Увеличение угла атаки на наветренной стороне сопровождается возрастанием теплового потока, а на подветренной — снижением. При дальнейшем увеличении угла атаки возможно появление локального максимума давления  $p_e(\eta)$  при  $\eta = \pi$ , что приводит к перестройке течения внутри пограничного слоя и образованию области

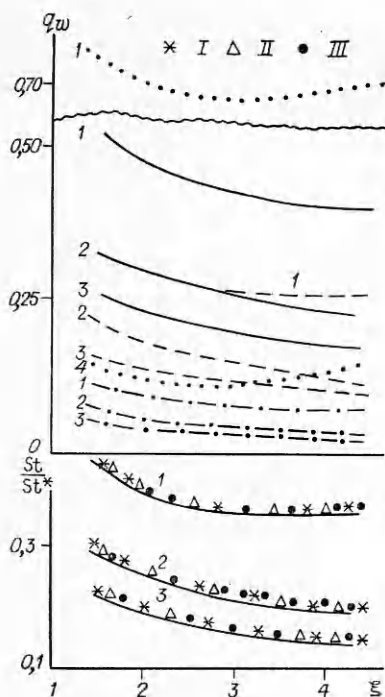


Рис. 2

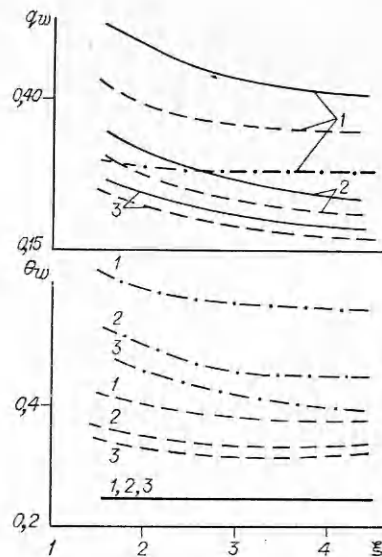


Рис. 3

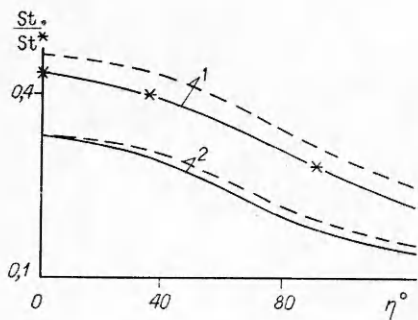
растекания, вследствие чего на подветренной стороне уменьшается толщина пограничного слоя и начинается возрастание теплового потока.

Такое поведение  $q_w(\xi)$  показано на подветренной стороне при  $\alpha = 20,9^\circ$  на рис. 2. Здесь пунктирные кривые 1, 4 отвечают  $\eta = 0$ ;  $\pi$  соответственно,  $\theta_w = 0,05$ . Экспериментальные исследования [11] показали, что для  $\alpha = 20,9^\circ$  тепловые потоки при  $\eta = \pi$  также ведут себя немонотонным образом. Отметим, что расчетные данные по давлению  $p_e$  на подветренной стороне для указанного угла атаки удовлетворительно согласуются при  $\xi \leq 5$  с распределением  $p_e$ , полученным экспериментально в [11]. Немонотонность функции  $q_w(\xi)$  (пунктирная линия 1, рис. 2) при  $\eta = 0$  для  $\alpha = 20,9^\circ$  обусловлена повышением давления при  $\xi \geq 2,7$  для данного  $\alpha$ .

Рассмотрим влияние температурного фактора на тепловые потоки  $q_w$  и отношение чисел Стантона  $St/St^*$ , где  $St^* = q_w^*/[\rho_\infty V_\infty c_p (T_{e0} - T_w^*)]$  отвечает максимальному значению теплового потока  $q_w^*$ , которое достигается в окрестности звуковой линии сферы. Для указанных к рис. 1 определяющих параметров на рис. 2 даны зависимости  $q_w(\xi, \eta)$  и  $St/St^*(\xi, \eta)$  в меридиональных сечениях  $\eta = 0; \pi/2; 2,2$  при  $\alpha = 10^\circ$  (кривые 1—3). Здесь сплошные кривые отвечают значению  $\theta_w = 0,248$ , штриховые —  $\theta_w = 0,5$ , а штрихпунктирные получены для ламинарного режима течения при  $\theta_w = 0,248$ . Видно, что для этих условий обтекания тепловые потоки существенно зависят от температурного фактора и при турбулентном режиме течения  $q_w(\xi, \eta)$  в 4—5 раз выше, чем при ламинарном.

Значения  $St/St^*$  при изменении температурного фактора на порядок меняются слабо. Точками I, II изображены  $St/St^*$  для  $\theta_w = 0,05$  и  $0,248$  во всех сечениях  $\eta$  (зависимости 1—3). Сплошная линия отвечает  $\theta_w = 0,5$ . Консервативность  $St/St^*$  позволяет строить надежные методы определения потоковых величин к изотермической поверхности. Точками III приведены распределения  $St/St^*$ , полученные по формуле работы [12]. Проведенные расчеты показывают, что увеличение  $\theta_w$  от  $0,05$  до  $0,8$  вызывает изменение  $St/St^*$  на всей поверхности тела не более чем на 14 %.

Как следует из рис. 1, 2, распределение тепловых потоков на обтекаемой поверхности носит сложный характер, что вызывает при решении задачи прогрева формирования  $T_w(\xi, \eta)$  и поля температуры внутри тела.



Р и с. 4

Результаты решения задачи в сопряженной постановке даны на рис. 3. Расчет проведен при  $\alpha = 10^\circ$ ,  $\theta_n = 0,248$ ,  $\sqrt{\text{RePr}\lambda_{e0}/\lambda_{1*}} = 3,19$ ,  $\partial\theta/\partial n_1(\tau, L/R_N) = 0$ ,  $L/R_N = 0,1$ , остальные параметры, как на рис. 1. Зависимости  $q_w$  и  $\theta_w$  от  $\xi$  представлены в трех меридиональных сечениях  $\eta = 0$ ;

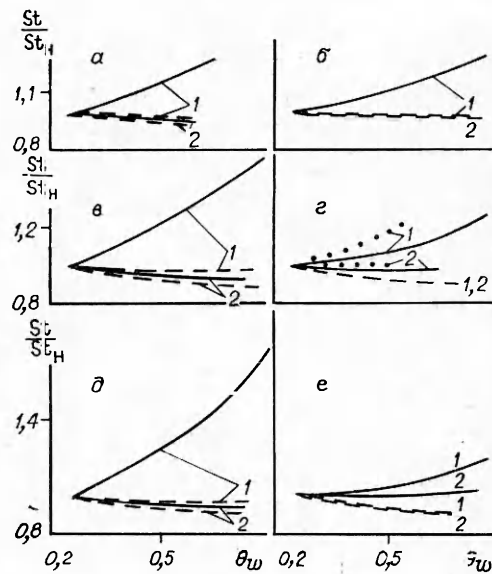
$\pi/2$ ;  $2,2$  (линии 1—3) в моменты времени  $\tau = 0$ ;  $0,0055$ ;  $0,024$  (сплошные, штриховые и штрихпунктирные кривые). Как и следовало ожидать, наибольший нагрев достигается на наветренной стороне в окрестности плоскости симметрии, причем наблюдается значительное снижение температуры  $\theta_w$  при переходе на подветренную сторону тела. В то же время для расчетного угла атаки тепловой поток и температура в фиксированных меридиональных плоскостях слабо меняются вдоль конической поверхности при  $\xi \geq 3,5$ .

Результаты обработки решения, показанного на рис. 3 в виде зависимостей  $St/St^* = q_w(\xi, \eta) [1 - \theta_w^*(\xi, \eta)] / [1 - \theta_w(\xi, \eta)] q_w^*$  от переменной  $\eta$  в сечениях  $\xi = 1,45$ ;  $4,54$  (линии 1, 2) для моментов времени  $\tau = 0$  и  $0,0055$  (сплошные и штриховые кривые), даны на рис. 4. Здесь же в начальный момент времени  $\tau = 0$  для изотермической поверхности звездочки отвечают формулам работы [12]. Видно, что неизотермичность поверхности приводит к возрастанию относительного числа Стантона, что обусловлено наличием отрицательных значений  $\partial\theta_w/\partial\xi$ ,  $\partial\theta_w/\partial\eta$ , причем при движении вдоль меридионального сечения расслоение кривых уменьшается.

Для больших моментов времени вследствие достижения высоких температур поверхности на сферическом затуплении тепловой поток в этой области падает значительно и предпочтительнее использовать обработку решения в виде

$$\frac{St}{St_n} = \frac{q_w(\xi, \eta) [1 - \theta_{wn}(\xi, \eta)]}{q_{wn}(\xi, \eta) [1 - \theta_n(\xi, \eta)]},$$

для  $q_{wn}$  и  $\theta_{wn}$  — тепловой поток и температура поверхности в точке  $(\xi, \eta)$  в начальный момент времени. На рис. 5 показаны зависимости  $St/St_n$  от  $\theta_w$ , полученные при обработке решения задачи нестационарного теплообмена в плоскости симметрии затупленного конуса на наветренной стороне (б, г, е) и подветренной (а, в, д) для  $\alpha = 5^\circ$  (а, б),  $10^\circ$  (в, г),  $20,9^\circ$  (д, е) в сечениях  $\xi = 1,45$ ;  $4,54$  (линии 1, 2). Здесь же штриховые кривые отвечают значениям  $St/St_n$ , найденным в указанных выше сечениях при интегрировании уравнений пространственного турбулентного пограничного слоя в окрестности плоскости симметрии для разных изотермических температур стенки. Видно, что в окрестности сферического носка при решении задачи сопряженного теплообмена наблюдается качественно



Р и с. 5

отличное поведение относительного значения  $St/St_H$  по сравнению с найденным при параметрическом переборе  $\theta_w$ .

Такое поведение  $St/St_H$  при решении краевой задачи (1.1)–(1.7) связано с тем, что при формировании неизотермического распределения температуры  $\frac{1}{(1-\theta_w)} \frac{\partial \theta}{\partial \xi} < 0$ , это вызывает увеличение коэффициента теплоотдачи к телу, как и в осесимметричном случае [6].

Отметим, что качественный анализ влияния неизотермического распределения  $\theta_w$  на поверхности может быть проведен из уравнения сохранения энергии (1.3). Действительно,

$$(2.1) \quad \left(\frac{\alpha}{c_p}\right) = \frac{\mu_w}{Pr_w} \frac{\partial H}{\partial n} \Big|_w - \frac{V_m \rho_{e0}}{\sqrt{Re}} \sqrt{\frac{u_e}{\alpha_1 V_m} \frac{\rho_e}{\rho_{e0}} \frac{\mu_e}{\mu_{e0}} \frac{l_w}{Pr_w} \frac{\partial \bar{g}}{\partial \xi}} \Big|_w$$

( $\bar{g} = (g - g_w)/(1 - g_w)$ ). После интегрирования (1.3) в окрестности плоскости симметрии запишем, например, для  $Pr = 1$

$$(2.2) \quad \frac{l_w}{Pr_w} \frac{\partial \bar{g}}{\partial \xi} \Big|_w = \int_0^\infty (\alpha_4 f + \alpha_3 \varphi) \frac{\partial \bar{g}}{\partial \xi} - \alpha_1 \int_0^\infty \left( \bar{u} \frac{\partial \bar{g}}{\partial \xi} - \frac{\partial f}{\partial \xi} \frac{\partial \bar{g}}{\partial \xi} \right) d\xi - \\ - \frac{\alpha_1}{1 - g_w} \frac{\partial g_w}{\partial \xi} \int_0^\infty \bar{u} (1 - \bar{g}) d\xi.$$

Из (2.2) вытекает зависимость решения от величины  $\frac{\alpha_1}{1 - g_w} \frac{\partial g_w}{\partial \xi}$ , характеризующей неизотермичность поверхности. Для ламинарного режима течения в пограничном слое подробный анализ решения проведен в [6].

Кроме результатов в плоскости симметрии течения, на рис. 5,  $z$  по данным решения задачи в сопряженной постановке в тех же сечениях по  $\xi$  приведено отношение  $St/St_H$  на боковой конической поверхности  $\eta = 2,2$  (пунктирные линии); видно, что влияние неизотермичности температуры поверхности на относительные числа Стантона наиболее сильно сказывается в окрестности сферического носка и возрастает при переходе по  $\eta$  от 0 до  $\pi$ . Кроме того, различие решений при  $\xi = 1,45$  на подветренной стороне увеличивается, а на наветренной уменьшается при росте  $\alpha$ , что обусловлено, в первую очередь, расстоянием от точки торможения.

На участке конической поверхности, где характеристики течения меняются слабо ( $\xi = 4,54$ ), значения  $St/St_H$  близки на подветренной стороне, а на наветренной расслоение кривых возрастает при увеличении  $\alpha$ .

Поскольку решение сопряженной задачи теплообмена является трудоемким, то интересно сравнить результаты, полученные в точной и раздельной постановках задачи. Используя консервативность  $St/St^*$  в зависимости от изотермической температуры  $\theta_w$  (см. рис. 2), тепловой поток из газовой фазы  $q_w(\xi, \eta, 0)$  в граничном условии (1.6) зададим в виде  $q_w = \frac{St(\xi, \eta)}{St^*} \alpha^* [1 - \theta_w(\xi, \eta)]$  ( $\alpha^* = q_w^*/(1 - \theta_w^*)$  аппроксимировалась по результатам расчетов). Сравнение результатов решения задачи в сопряженной постановке (сплошные кривые) и раздельной (штриховые) показано при  $\alpha = 10^\circ$  на рис. 6 (а — изменение температуры поверхности от времени для  $\xi = 1,45$ , б — сечение  $\xi = 4,54$ , линии 1, 2 соответствуют меридиональным плоскостям  $\eta = 0; 2,2$ ).

Как следует из сравнения кривых  $\theta_w(\tau)$  в областях, где значительны ло-

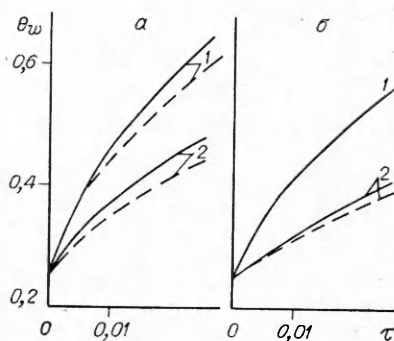


Рис. 6

кальные производные  $\partial\theta_w/\partial\xi$ ,  $\partial\theta_w/\partial\eta$ , их вклад в коэффициент теплоотдачи существен, что приводит к занижению температуры поверхности при раздельном способе постановки задачи, когда значение  $(\alpha/c_p)$  берется при изотермических условиях. Для участков конической поверхности, где характеристики течения меняются слабо, может быть использован коэффициент теплоотдачи, найденный для изотермических условий. Отметим, что влияние неизомермичности  $\theta_w$  на формирование коэффициента теплоотдачи при турбулентном режиме течения в пограничном слое не столь значительно, как при ламинарном.

Таким образом, тепловой поток определяется, во-первых, предысторией развития теплового и динамического пограничного слоев и, во-вторых, локальными производными температуры поверхности по окружной и продольной координатам, отнесенными к температурному либо энтальпийному перепаду. Поэтому в тех случаях, когда локальные производные значительны либо вследствие формы обтекаемой поверхности, либо вследствие резкого изменения граничных условий, использование коэффициента теплоотдачи, найденного для изотермической стенки, может приводить к погрешностям при расчете температурного поля в материале оболочки.

#### ЛИТЕРАТУРА

1. Лыков А. В. Теплообмен: Справочник.— М.: Энергия, 1972.
2. Зинченко В. И., Трофимчук Е. Г. Решение неавтономных задач теории ламинарного пограничного слоя с учетом сопряженного теплообмена // Изв. АН СССР. МЖГ.— 1977.— № 4.
3. Шевелев Ю. Д. Пространственные задачи вычислительной аэрогидродинамики.— М.: Наука, 1986.
4. Себечи Т. Расчет трехмерного пограничного слоя. Бесконечный цилиндр со скольжением при малом вторичном течении // РТК.— 1974.— № 6.
5. Chen K. K., Thyson N. A. Extension of Emmons spot theory to flows on blunt bodies // AIAA J.— 1974.— V. 9, N 5.
6. Зинченко В. И., Путятина Е. Н. Решение задач сопряженного теплообмена при обтекании тел различной формы // ПМТФ.— 1986.— № 2.
7. Антонец А. В. Расчет пространственного сверхзвукового обтекания затупленных тел с изломами образующей с учетом равновесного и замороженного состояния газа в ударном слое // Изв. АН СССР. МЖГ.— 1970.— № 2.
8. Завьялов Ю. С., Квасов Б. И., Мирошниченко В. Л. Методы сплайн-функций.— Новосибирск: Наука, 1980.
9. Гришин А. М., Бердун В. И., Зинченко В. И. Итерационно-интерполяционный метод и его приложения.— Томск: ТГУ, 1984.
10. Blottner F. G. Investigation of some finite-difference techniques for solving the boundary layer equations // Comput. meth. appl. mech. and engng.— 1975.— N 6.
11. Widhopf G. F., Hall R. Transitional and turbulent heat-transfer measurements on a yawed blunt conical nosetip // AIAA J.— 1972.— V. 10, N 10.
12. Землянский Б. А., Степанов Г. И. О расчете теплообмена при пространственном обтекании тонких затупленных конусов гиперзвуковым потоком воздуха // Изв. АН СССР. МЖГ.— 1981.— № 5.

Поступила 20/VII 1987 г.,  
в окончательном варианте — 8/XII 1987 г.

УДК 624.04

### ОПТИМАЛЬНОЕ ПРОЕКТИРОВАНИЕ ПОДКРЕПЛЕННЫХ ЦИЛИНДРИЧЕСКИХ ОБОЛОЧЕК С УЧЕТОМ КОРРОЗИОННОГО ИЗНОСА

Г. М. Криворучко, Ю. М. Почтман  
(Днепропетровск)

В целом ряде областей техники в последнее время все больше применяются тонкостенные элементы конструкций, которые являются очень чувствительными к коррозии, так как даже незначительное уменьшение их геометрических размеров из-за коррозионного износа может привести к большим изменениям напряжений и деформаций. В связи с этим учет влияния коррозии в расчетах на прочность, устойчивость и долговечность, а также при оптимальном проектировании приобретает важное значение.